

# セメントの強さ試験における標準砂に関する研究。

名城大学理工学部土木工学科教室正員 ○ 加藤正育  
 ド ド ド ド 飯坂武男

## 1) まえがき

JIS R5201による、セメントの強さ試験は、周知のようだ、セメントの品質の検査と同時に、このテストの成果から同じセメントを用いて、施工されるコンクリートの強さを推定するときの資料を得るために行はれる。このテストに用いられる豊浦標準砂（以下単に標準砂といふ）の諸性質が明確について、これまで筆者らの行つてきた一連の研究を総合し、さらに補足、拡充しようとする。

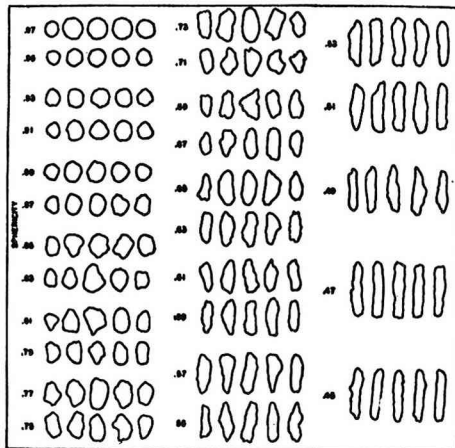
本報に関する外國文献の調査につき、名古大学工学部教授神保元二先生はじめ、山崎量平先生、そのほかの各様の御世話をいたしましたことを厚く感謝いたします。

## 2) 標準砂の粒子形態

粒子の形態を表示する一般的な方法についての歴史は古く、したがつて、これに關しての文献も多いが、これらは主として粒子を完全球体と比較するための手法が支配的である。最近（1973年-1974年）M. H. Pahl氏らの粒子形の記載法（I, II, III.）に引用された、Rittenhouse氏（1943年）の粒子の球形度（Sphericity）をきめる標準的なグラフは右に掲げた図-1である。これと図-2、および図-3、の標準砂の顕微鏡写真による外形とを比較すれば標準砂の形態の概要が推測されると思う。

図-2は、標準砂のふるいわけで、 $149\mu\text{m}$ フルイをパスして、 $105\mu\text{m}$ フルイの上に残留したもので、

図-3は、同じく、 $297\mu\text{m}$ フルイをパスして、 $210\mu\text{m}$ フルイの上に残留したものである。これらの粒子は顕微鏡の視野では、どちらも同じ倍率の40倍で撮影した原版から拡大したものである。



Standard graph for determining the sphericity according to Rittenhouse

図-1. 粒子の形態表示の標準的グラフ。

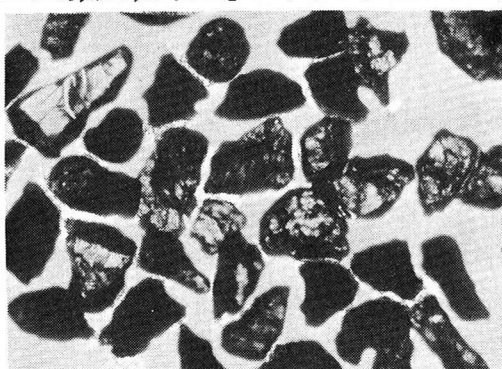


図-2. 標準砂の顕微鏡写真、 $149\mu\text{m}$ フルイをパスし、 $105\mu\text{m}$ フルイに残留のもの。

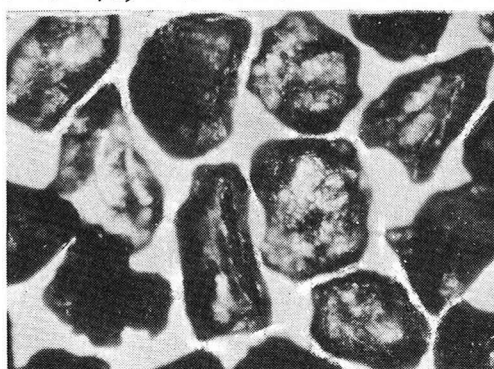


図-3. 標準砂の顕微鏡写真、 $297\mu\text{m}$ フルイをパスし、 $210\mu\text{m}$ フルイに残留のもの。

### 3) 標準砂のふるいわけの再現性など。

わが国では、標準砂のふるいわけに関する終止点については規定がないから、セメント協会は毎年公表するふるいわけ結果に近い値を再現するための、筆者らのテストでは試料100g-200gを2分間ロータップにかけたのち、30秒間の手ふるいをすれば大体においてセメント協会の値に近い数値となるが、標準砂の粒子形状が不整形であるため再現性に多くの問題があり追究中である。

1973年、J.E. English氏が珪砂を90μ, 125μ, 180μのフリイで分級した実験によれば、試料100g-200gで、試料のフリイ通過を制約する目つまりは、ふるいわけを開始のうち10分～20分で、ほとんど最大になるとされ、またロータップはふるいわけの再現性が最もよいとされている。終止点についてはB.S.(英國基準)およびA.S.T.M.の規定を紹介している。

1969年、G.S. Riley氏が相異なる形状の粒子を分離するため、1,680μ-1,000μの範囲と710μ-500μとの範囲の、種々の形状のガラス体を作り、これと同じ径級範囲をもつガラス球を保証粒子として実験した結果が、図-4、図-5である。同氏の論文はこれらグラフだけでデータも実験式もないから、終止点(End-point)をみるため、図形から推定されたデータを計算用紙にプロットし、自然対数を用いて、最小自乗法で計算し、次の値を得た。図-4の曲線Aについては、

$$R = 20,47081 \times \log_e t + 45,37371 \quad \dots \dots \dots (1)$$

曲線Bについては、

$$R = 2,34102 \times \log_e t + 95,36339 \quad \dots \dots \dots (2)$$

上式のRは分離量の積算%，tはその時間(分)この両式から下限500μのAは14分24秒。Bは下限7,000μで、7分12秒の終止点となる。

図-5の

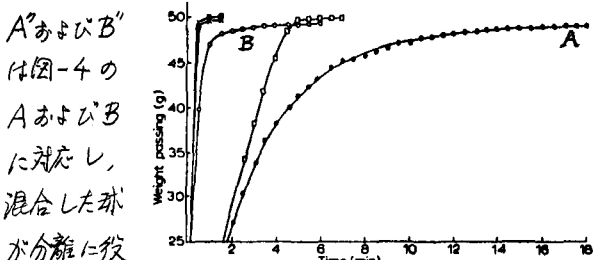


Fig. 4. Sieving times for 50-g samples of single shapes: × spheres 22/30 mesh, ■ cylinders 22/30 mesh, □ flakes 22/30 mesh, ● irregulars 22/30 mesh, ○ irregulars 10/16 mesh. Samples of 10/16 mesh spheres, cylinders and flakes all passed within the first half minute.

### 文献

- (1) 加藤正育。JIS規格によるセメント・モルタルの強さ試験。セメントコンクリート誌 No.278. 昭和45年
- (2) 加藤正育。コンクリートの性質に及すセメント粉未度の影響。セメントコンクリート誌 No.306. 昭和47年
- (3) 加藤正育、飯塚武男。豊浦標準砂の平均粒子径について。土木学会中部支部講演概要集 IV-2. 昭和46年
- (4) 上記に同じ。粗粒率による細骨材の平均粒子径について。土木学会第27回年大会講演集 IV-45. 昭和47年
- (5) 上記に同じ。豊浦標準砂の粒体的特性について。土木学会中部支部講演概要集 IV-21. 昭和47年
- (6) 上記に同じ。JIS.R5201に関する豊浦標準砂。土木学会第28回年大会講演集 IV-161. 昭和48年
- (7) 上記に同じ。セメントの強さ試験における標準砂。土木学会中部支部講演概要集 I-30. 昭和49年
- (8) 上記に同じ。同上(オ2報)

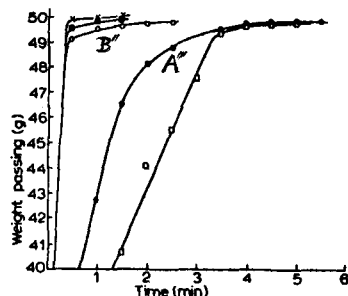


Fig. 5. Sieving times for mixtures of 25 g spheres with 25 g of one of the other shapes: ● spheres + irregulars 22/30 mesh, □ spheres + flakes 22/30 mesh, ■ spheres + cylinders 22/30 mesh, × spheres + flakes 10/16 mesh, ○ spheres + irregulars 10/16 mesh. A mixture of 10/16 mesh spheres + cylinders all passed within the first half minute.